

# تأثیر تغییرهای ترشوندگی یک سطح جامد بر روی جریان سیال داخل قطره چسبان حامل میکروذردهای آبگریز

مجید احمدلوی داراب<sup>\*</sup>، ناصر اسدزاده، کسری محمدزاده عباچی

دانشکده مهندسی شیمی و نفت، دانشگاه تبریز، تبریز، ایران

**چکیده:** استفاده از میکروذردها در داخل قطره‌های حامل، از اهمیت گستردگی در زمینه کنترل فرایندهای کاربردی چنان‌مرحله‌ای زیستی و صنعتی از جمله در تشخیص بیماری‌ها و جداسازی‌های سلولی با استفاده از غشا برخوردار می‌باشد. در این مقاله به بررسی ساختار جریان داخل قطره دارای میکروذردهای آبگریز با استفاده از روش شیوه‌سازی MDPD پرداخته شده است. قطره در هنگام بارگیری، انتقال و رهاسازی یک میکروذرده آبگریز در مجاورت یک سطح جامد که دارای گرادیان ترشوندگی خطی می‌باشد قرار دارد. ساختار جریان به تفصیل در بازه‌های زمانی گوناگون و مهم از جمله لحظه‌ای که قطره با میکروذرده تماس پیدا می‌کند، زمانی که قطره شروع به حمل میکروذرده می‌کند، زمانی که قطره میکروذرده را انتقال می‌دهد و نهایتاً لحظه‌ای که قطره میکروذرده را رهاسازی قرار گرفت. نتیجه‌های نشان دادن که با توجه به حضور میکروذرده، ساختار و شکل جریان به طور چشمگیری باحتی که درون قطره هیچ میکروذرده‌ای وجود ندارد، متفاوت می‌باشد. نکته مهم دیگر این است که در حضور میکروذرده، سرعت قطره به صورت غیر یکنواخت می‌باشد. اصطلاحاً بین میکروذرده و سطح، نه تنها حرکت قطره را به تعویق می‌اندازد، بلکه ممکن است باعث جدایش میکروذرده از قطره شود. این پدیده به علت این واقعیت است که با افزایش نیروی اصطکاکی، اگرچه نیروهای عامل و تقویت کننده حرکت موثر بر میکروذرده داخل قطره نیز افزایش می‌یابد اما این مقادیر با توجه به نیروهای جاذبه چسبندگی قطره محدود می‌شود. بنابراین زمانی که نیروی مورد نیاز برای حرکت قطره از بیشترین نیروی تأمین شده توسط نیروهای جاذبه چسبندگی قطره افزایش می‌یابد، پدیده رهایش و جدایی میکروذرده و قطره رخ می‌دهد. همچنین نتیجه‌گیری شد که سرعت بحرانی بیشتر از ریخت‌شناسی قطره تحت تأثیر نیروهای چسبندگی داخل قطره می‌باشد.

**واژگان کلیدی:** میکروذرده آبگریز؛ ریز قطره؛ ترشوندگی؛ ریخت‌شناسی؛ نیروی اصطکاکی؛ رهایش

**KEYWORDS:** Hydrophobic Microparticle; Droplet; Wettability; Morphology; Frictional force; Deliverance

## مقدمه

کاربرد داشته باشند. این زمینه به قدری دارای اهمیت می‌باشد که فرایندهای چند مرحله‌ای برای حمل میکروذرده توسط قطره، انتقال و رهایش آن امروزه به طور گستردگای مورد توجه واقع شده است

میکروماده منتقل شونده از جمله سلول‌ها، میکروذردها و نانوذره‌ها، داخل یک قطره حامل می‌توانند به صورت گستردگی در تشخیص بیماری‌ها، جداسازی سلولی و میکرو سیالات دیجیتالی

+Email: mahmadlouydarab@tabrizu.ac.ir

\* عهده‌دار مکاتبات

الکتریکی از یک قطره اصلی به دو قطره فرعی نیز استفاده می‌شود [۲۰]. متأسفانه داده‌های موجود در منابع، براساس رفتار طبیعی گروهی از میکروذرهای گردآوری شده است. برای مثال یکی از روش‌های سنتی برای بررسی جریان سیال داخل قطره، بررسی تصویرهای قطره با استفاده از سرعت سنج می‌باشد، که امروزه بدلیل استفاده مقدارهای زیادی ماده فلوروستنت برای آشکارسازی تصویرها با استفاده از دوربین‌های پرسرعت برای بررسی قطره و سیالی که داخل آن‌ها قرار دارد، چندان کاربرد نداشته و منسوخ شده است [۲۱-۲۳]. اما با توجه به اندازه قابل مقایسه میکروذرهای مورد نظر، دنبال کردن میکروذرهای نسبت به خود میکروذرهای مورد نظر تاثیر بیشتری بر جریان سیال دارد، در صورتی که هدف مطلوب بررسی تاثیر میکروذرهای بر جریان سیال می‌باشد. بنابراین با توجه به محدودیت‌های فنی موجود، بررسی دقیق و جزئی ساختار جریان و همچنین فیزیک مسئله در قطره بی‌پایه که دارای میکروذرهای می‌باشد، تاکنون به درستی انجام نگرفته است.

با پیشرفت سریع روش‌های عددی و همچنین سیر نزولی قیمت منابع کامپیوترا، شبیه‌سازی عددی به یکی از مهم‌ترین روش‌ها برای اعتبارسنجی مدل‌های تحلیلی، تجزیه و تحلیل نتیجه‌های آزمایشگاهی، امکان سنجی طراحی و همچنین تعیین مقدارهای پارامترهایی که در اندازه‌های میکرو و ماکرو برای سیالات به روش‌های آزمایشگاهی یا قابل اندازه‌گیری نیستند و یا بسیار گران می‌باشند، تبدیل شده است [۲۴].

دستکاری قطره‌ها و دینامیک سیالات در سامانه میکروسیالات دیجیتالی<sup>(۱)</sup> (DMF) به روش<sup>۵</sup> MDPD انجام می‌گیرد [۲۵-۳۲]، که یک روش عددی برای بررسی دینامیک ذره‌های چند تکه با در نظر گرفتن ترم اتلاف می‌باشد. این روش نوع پیشرفت‌هه روشن DPD هست که برای بررسی دینامیک ذره‌ها و همچنین سطح مشترک مایع بخار استفاده می‌شود. DPD مشابه روش شبیه‌سازی دینامیک مولکولی<sup>(۶)</sup> (MD) می‌باشد با این تفاوت که قابلیت بالاتری را برای بررسی پدیده‌های فیزیکی در گام دمایی، مکانی و مراتب بالاتر نسبت به روش MD دارد. DPD برای پدیده‌های تصادفی از جمله حرکت براومنی جامدات و سیالات این توانایی را دارد که حرکت ذکر شده را تبدیل به عدد و رقم کرده و بشمارد. تاثیر حرکت براومنی بر روی دینامیک میکروذره در مطالعه‌های لی<sup>(۷)</sup> مورد بررسی

[۱]. برای مثال در دو دهه اخیر افزایش چشمگیری در محبوبیت و پیشرفت در زمینه بررسی قطره‌ها در تکنولوژی میکروذرهای صورت گرفته [۳،۲] که در علوم زیستی [۴]، شیمی [۵] و دارویی [۶] تا حدودی عملیاتی شده است. نانوکرهای و میکروکرهای متحرک برای به دام انداختن پادتن‌ها یا DNA به کار می‌روند. از این ویژگی‌های ذکر شده، در فرایندهای دارویی و زیستی چندمرحله‌ای و چندکاره نیز استفاده می‌شود. همچنین این مواد در جابه‌جایی آتی‌ژن (پادتن) مورد نظر، نشانه‌گذاری سلول‌ها یا پروتئین‌های مورد نظر برای شناسایی بهتر و تولید ساختارهایی که طی اختلاط سیال به طور خودبه خود متراکم می‌شوند، کاربرد دارند [۷-۱۳]. با توجه به این که سطح ویژه زیادی برای لخته‌سازی شیمیایی و همچنین بازیابی آسان‌تر مورد نیاز می‌باشد، در نتیجه با استفاده از تغییرهای همچون پوشش‌دهی، این میکروکرهای به سطح مخصوص مطلوب برای رسوب پروتئین‌ها و سلول‌های مورد نظر، دست می‌یابند. در نتیجه پروتئین‌ها یا سلول‌ها می‌توانند با دستکاری میکروذرهای کنترل شوند. بنابراین دستکاری میکروذرهای در مکانیزم‌های برداشت، جابه‌جایی و رهایش میکروذرهای و در نتیجه در کنترل فرایندهای زیستی و شیمیایی چندمرحله‌ای نقش بسزایی دارند. اما هنوز مشکل اصلی دستکاری میکروذرهای بدوسیله قطره‌های بی‌شکل، فقدان بازده و دقت می‌باشد. با این حال با استفاده از مواد مغناطیسی می‌توان کنترل میکروذرهای را بهبود بخشید [۱۴-۱۶]. اما در عین حال این روش هزینه‌بر بوده و پیچیدگی طراحی‌های تجربی را به طور گسترده‌ای افزایش می‌دهد.

گزارش‌های علمی بسیار کمی در مورد دستکاری میکروذرهای در منابع موجود می‌باشد. در مرتبطترین پژوهش انجام شده یک دستگاه آزمایشگاهی توسط ژئو<sup>(۸)</sup> و چو<sup>(۹)</sup> برای بررسی بازده میکروذرهای آبدوست و آبگریز در مجاورت قطره‌های متحرک که توسط الکتریسیته بر روی دی الکتریک به روش EWOD<sup>(۱۰)</sup> دستکاری شده‌اند، طراحی شده است [۱۷]. در مطالعه‌های دیگر بازده‌های نمونه‌ها و مواد گوناگون دیگر از جمله میکروب‌ها و گرده‌ها [۱۸] و همچنین در مجاورت سطوح گوناگون، مورد بررسی قرار گرفته است [۱۹]. از الکتروفوروسیس<sup>(۱۱)</sup> علاوه بر نمونه‌گیری میکروذرهای، برای تنظیط و جداسازی میکروذرهای گوناگون

(۱) Zhao and Cho

(۲) Electrowetting-on-dielectric

(۳) Electrophoresis

(۴) Digital microfluidics

(۵) Many-body dissipative particle dynamics

(۶) Dissipative particle dynamics

(۷) Molecular dynamics

(۸) Li

(۹) Cho

(۱۰) EWOD

پرداخته شد [۳۳]، آما هدف اصلی ما دستکاری ویژگی‌های سطحی میکرووذره‌ها آبگریز به منظور در کامل الگوی جریان سیال و متعاقباً بهبود پارامترهای فیزیکی مرتبط در داخل قطره حامل میکرووذره آبگریز می‌باشد. برای رسیدن به این هدف، از روش MDPD با تغییر ضریب تنش سطحی  $\sigma$  استفاده خواهد شد. به علاوه سعی خواهد شد یک معیار مناسب برای میکرووذره حمل شونده توسط قطره یافته شود. این نتیجه‌ها می‌توانند برای سامانه‌ای که به صورت DMF طراحی شده مفید باشد، بدین صورت که دیگر برای دستکاری میکرووذره‌ها نیازی به نیروهای مغناطیسی خارجی و یا ساختارهای پیچیده مغناطیسی نباشد. نهایتاً تأثیر اندازه قطره بر روی رهایش میکرووذره به طور دقیق و با جزئیات بررسی خواهد شد.

## بخش نظری

### روش عددی و مرحله‌ها محاسبه‌های

همان‌گونه که اشاره شد، برای مدل‌سازی حرکت یک قطره دارای میکرووذره از روش MDPD استفاده شده است. این روش برای ذره‌های درشت دانه استفاده می‌شود و سامانه را به صورت دسته‌ای از ذره‌ها در نظر گرفته و مدل‌سازی می‌کند. حرکت این دانه‌ها از قانون دوم نیوتون که به فرم  $\vec{v} = \frac{d\vec{r}_i}{dt}$  نوشته می‌شود پیروی می‌کند. این معادله را می‌توان به شکل معادله (۱) نیز نوشت:

$$(1) m_i \frac{d\vec{v}_i}{dt} = \vec{f}_i = \sum_{l \neq i} (\vec{F}_{ij}^C + \vec{F}_{ij}^D + \vec{F}_{ij}^R)$$

که در آن  $\vec{r}_{ij}$ ،  $\vec{v}_i$ ،  $\vec{r}_i$  نشانگر مشخصه‌های ذره  $i$  ام به ترتیب برای مختصات، سرعت و نیروی وارد بر ذره می‌باشند. همچنین  $\vec{F}_{ij}^C$ ،  $\vec{F}_{ij}^D$ ،  $\vec{F}_{ij}^R$  نیروی بقایی، اتلافی و نیروی تصادفی نامیده می‌شوند [۲۵، ۲۶].

$$(2) \vec{F}_{ij}^C = A_{ij} \omega_C(r_{ij}) + B_{ij} (\bar{\rho}_i + \bar{\rho}_j) \omega_d(r_{ij})$$

$$(3) \vec{F}_{ij}^D = -\gamma \omega_D(r_{ij}) (\vec{e}_{ij}, \vec{v}_{ij}) \vec{e}_{ij} \vec{F}_{ij}^R = \varphi \omega_R(r_{ij}) \theta_{ij} (\delta_t)^{-1/2} \vec{e}_{ij}$$

$$\vec{r}_{ij} = |\vec{r}_{ij}|, \vec{r}_{ij} = \vec{r}_i - \vec{r}_j, \vec{e}_{ij} = \vec{r}_i / |\vec{r}_{ij}|, \vec{v}_{ij} = \vec{v}_i - \vec{v}_j$$

نیروی بقایی شامل هر دو ترم دافعه و جاذبه می‌باشد.  $A_{ij}$  و  $B_{ij}$  به ترتیب نمایانگر ترم‌های جاذبه و دافعه می‌باشند. همچنین  $\omega_C$  و  $\omega_D$  توابع وزنی ترم‌های جاذبه و دافعه هستند که به صورت زیر تعریف می‌شوند:

(۱) Rao

(۲) Nugent

(۳) Smooth particle hydrodynamics

(۴) Trofimov

قرار گرفته است [۲۹]. برتری این روش، سهولت بررسی اثر متقابل ذره، تحت پتانسیل دافعه‌ای ملایم می‌باشد و نشان داده شده است که DPD می‌تواند به عنوان مدل مزوسکوپیک دینامیک مولکولی نیز استفاده شود [۳۰]. همچنین این روش در بررسی جداسازی فازی در محلوطهای مایع دوتابی غیرقابل اختلاط [۳۱-۳۳]، تغییر شکل قطره‌ها و جدایی در جریان برشی [۳۴]، قطره‌های روی سطوح تحت نفوذ یا تأثیر جریان برشی [۳۵] مورد استفاده قرار گرفته است. در مسائل مربوط به مایع تک جزئی، روش DPD به دلیل دارا بودن پتانسیل دافعه‌ای ملایم به تنهایی نمی‌تواند تنش روی سطح را تکثیر کند، فدر نتیجه دارای یک محدودیت مبنایی می‌باشد. این پتانسیل غالباً منجر به حل نمودن معادله حالت فشار-دانیسته درجه دوم می‌شود [۳۶]. راو<sup>۱</sup> و همکارانش توانستند روش MDPD را برای محاسبه برخی از مشخصه‌های سیالات واقعی مثلاً کشش سطحی، ضریب نفوذپذیری و ویسکوزیته استفاده کنند. روش آن‌ها برای آب و هیدروکربن‌ها از قبیل هپتان قابلیت استفاده را دارد [۳۷]. اخیراً یک مدل برای میکرووذره‌ها جامد بر مبنای روش MDPD ارایه شده که به بررسی برهمکنش بین قطره‌ها، میکرووذره‌ها و لایه‌های سوبسترا می‌پردازد [۳۸، ۳۹]. در مدل مذکور، میکرووذره‌های آبدوست قطره‌ها را احاطه می‌کنند در حالی که میکرووذره‌ای آبگریز در تماس با زیرلایه‌ها و سوبستراها می‌باشند و برای جابه‌جایی و انتقال راحت‌تر کنترل می‌شوند. روش کاربرد در اندازه‌های ماکرو، توسط فرنکل<sup>۲</sup> ارایه شده و شامل یک ترم مربوط به نیروی جاذبه می‌باشد [۴۰]. رویکرد مشابهی توسط نوگنت<sup>۳</sup> و پوش<sup>۴</sup> در روش هیدرودینامیک ذره‌های صاف<sup>۵</sup> (SPH) معرفی شده است [۴۱].

قابلیت استفاده از روش MDPD برای سیالات چندفازی به طور گسترده توسط وارن<sup>۶</sup> و تروفیمو<sup>۷</sup> بررسی شده است [۴۲، ۴۳]. روش MDPD همچنین می‌تواند برای مطالعه دینامیک سطح آزاد روی سطوح جامد، برای نمونه فیزیک میکروسکوپی افت یا لغزش مورد استفاده قرار گیرد. با این حال تمرکز پژوهش‌های گذشته اغلب روی ویژگی‌های توده‌ای و بالک یعنی رابطه فشار-دانیسته بوده است [۴۲].

متاسفانه تاکنون اطلاعات دقیقی در مورد فیزیک و الگوی جریان سیال داخل قطره در دسترس نمی‌باشد. اگرچه در مطالعه پیشین به بررسی رفتار یک میکرووذره داخل یک قطره چسبان<sup>۸</sup>

(۲) Frenkel

(۴) Posch

(۶) Warren

(۸) Sessile droplet

صرف نظر شود. لایه فعال و سوبسترا به صورت الاستیک و میکروزدره به صورت صلب فرض می‌شود [۴۹]. میکروزدره بهدلیل وجود نیروهای چسبندگی به دیواره می‌چسبد. این نیرو به دلیل اضافه شدن نیروهای وارد بر میکروزدره از طرف سوبسترا ایجاد شده و در نظر گرفته شده است. این نیروی چسبندگی توسط نیروی نرمال موازن می‌شود که این نیروی نرمال تابعی از الاستیسیته دندانه سوبسترا  $d_{in}$  می‌باشد که به صورت زیر از معادله (۸) بدست می‌آید:

$$F_{normal} = \frac{4}{3} R_s^{1/2} d_{in}^{3/2} \quad (8)$$

که در معادله فوق،  $F_{normal}$  نیروی عمود بسطح یا نرمال،  $E$  مودول الاستیکی سوبسترا و  $R_s$  شاعع میکروزدره جامد می‌باشد. بهدلیل تماس سوبسترای جامد و میکروزدره، اصطکاک جنبشی و اصطکاک چرخشی نیز در نظر گرفته شده است. این دو نیرو با جمع نیروی نرمال و ضریب اصطکاک استاتیکی  $f_s$  و ضریب اصطکاکی چرخشی  $f_r$  تخمین زده شده و بدست می‌آیند. حرکت یک میکروزدره که به صورت کره سخت در نظر گرفته شده را می‌توان به دو نوع بهطور کامل مستقل از هم تفکیک کرد؛ انتقالی و چرخشی، که این نیروها با استفاده از نیرو و تنش کل وارد به صورت مستقل از یکدیگر قابل محاسبه‌اند [۵۱،۵۰].

### مدل هندسی ایجاد شده

محیط شیبیه‌سازی یک ناحیه سه بعدی به اندازه‌های ۱۵۰ (x) در ۷۰ (y) در ۲۰ (z) واحد در مقیاس DPD می‌باشد. که اندازه واحدها در هر سه راستا یکسان است. نقطه مبدا در مرکز ناحیه و سطح دیواره در  $z = 10$  تعیین شده است. زمانی که یک قطره بر روی سوبسترای جامد قرار می‌گیرد، بهدلیل گرادیان ترشوندگی، نیروی مویینگی ایجاد می‌شود که بهدلیل زاویه تماس موجود بین قطره و دیواره بوده و باعث حرکت قطره می‌شود [۵۲-۵۵]. گرادیان ترشوندگی سوبسترا با استفاده از تنظیم پارامتر جاذبه  $A_{jw}$  بین قطره و سوبسترا به دست می‌آید. بدین صورت ویژگی‌های ترشوندگی سوبسترا یا زاویه تماس  $\theta$  می‌تواند از آنگریز  $90^\circ > \theta > 0^\circ$  به آبدوست تبدیل شود. فرمولی که زاویه تماسی  $\theta$  را به پارامتر جاذبه  $A_{jw}$  مرتبط می‌کند، در پژوهش پیش مورد بررسی قرار گرفت [۳۳]. در مطالعه کنونی از همان فرمول گفته شده با استفاده از پارامترهای MDPD برای گرادیان ترشوندگی خطی مطلوب برای جامدی که در مجاورت سوبسترا می‌باشد، در جهت محور  $x$ ، استفاده شده است. فرمول اشاره شده در معادله (۹) ارایه شده است:

جدول ۱ - پارامترهای مورد استفاده در شبیه‌سازی‌های MDPD که همگی دارای واحد DPD هستند [۳۳].

پارامترها	نماد	مقدار
دانسیته سیال	$\rho$	۶/۰۰
شعاع قطع نیروهای جاذبه	$r_C$	۱/۰۰
شعاع قطع نیروهای دافعه	$r_d$	۰/۷۵
دامنه نیروهای رندم و تصادفی	$\varphi$	۶/۰۰
جاذبه بین مایع-مایع	$A_{ll}$	-۴۰/۰۰
دافعه بین مایع-مایع	$B_{ll}=B_{lw}$	۲۵/۰۰
گام زمانی	$\Delta t$	۰/۰۱

$$\omega_c(r_{ij}) = \begin{cases} 1 - \frac{r_{ij}}{r_c}, & (r < r_c) \\ 0, & (r \geq r_c) \end{cases}, \quad \omega_d(r_{ij}) = \begin{cases} 1 - \frac{r_{ij}}{r_d}, & (r < r_d) \\ 0, & (r \geq r_d) \end{cases} \quad (4)$$

که  $r_c = 0.75 r_d$  بوده و ترم نیروی جاذبه مستقل از دانسیته می‌باشد، در صورتی که مولفه دافعه تابع میانگین وزنی دانسیته ذره‌ها هست و دانسیته هر ذره به صورت زیر تعریف می‌شود [۲۵]:

$$\bar{\rho}_i = \sum_{i \neq j} 15 / (2\pi r_{ij}^3) (1 - \frac{r_{ij}}{r_d})^2 \quad (5)$$

برای نیروهای رندم و اتلافی  $\omega_D$ ،  $\omega_R$ ،  $\omega_{F_{ij}^D, F_{ij}^R}$ ،  $\omega_{F_{ij}^D, F_{ij}^R}$  توابع وزنی آن‌ها هستند.  $\gamma$  و  $\varphi$  نیز به ترتیب دامنه نیروهای اتلافی و رندم و  $\theta_{ij}$  نیز عدد گاووسی با واریانس واحد و میانگین صفر می‌باشد [۴۵]:

$$\omega_D(r) = [\omega_R(r)]^2, \varphi^2 = 2\gamma k_B T \quad (6)$$

$k_B$  ثابت بولتزمن و  $T$  دمای سامانه هست و توابع وزنی متداول استفاده شده به صورت زیر می‌باشد [۴۴]:

$$\omega_D(r) = [\omega_R(r)]^2 = [\omega_c(r)]^2 \quad (7)$$

پیوستگی دمایی معادله‌های MDPD با استفاده از الگوریتم سرعت اصلاح شده ورلت<sup>۱</sup> بررسی می‌شود [۴۴]. پارامترهای این روش با استفاده از مطالعه‌های پیشین [۲۹، ۲۸] و جدول ۱ به دست می‌آیند [۳۳]. لازم به توضیح این که برای بررسی میکروزدرهای جامد با استفاده از روش MDPD در مطالعه‌های پیشین یک مدل طراحی شد [۳۳]. بهطور خلاصه، در مدل پیشنهاد شده پیشین، میکروزدره جامد مورد استفاده به صورت یک کره سخت و صلب توخالی همراه ۶۱۲ ذره جامد بر روی سطح آن می‌باشد [۴۶-۴۸، ۳۳]. شرایط مرزی سطح میکروزدره به صورت بازتابی و انعکاسی در نظر گرفته شده تا از نفوذ ذره‌ها مایع به داخل میکروزدره

(۱) Velocity-Verlet algorithm

جدول ۲ - پارامترهای مورد استفاده برای مدل سازی میکروذرده و گرادیان ترشوندگی. پارامترها دارای واحد DPD هستند [۳۳].

مقدار	نام	پارامترها
-۴۰/۰	$x_0$	نقطه شروع ناحیه گرادیان ترشوندگی
۴۰/۰	$x_f$	نقطه پایان ناحیه گرادیان ترشوندگی
-۱/۰	$A_{sw}$	جاذبه بین میکروذرده و دیواره
۳/۰	$B_{ls}$	دافعه بین قطره و میکروذرده
-۱۵/۰	$A_{ls}$	جاذبه بین قطره و میکروذرده
۱/۰	$R_s$	شاع میکروذرده
۱۵۰/۰	$\theta_0$	زاویه تماس در انتهای آبگریز
۴۰/۰	$\theta_f$	زاویه تماس در انتهای آبدوست
۰/۸	$f_r$	ضریب اصطکاک چرخشی
۱۰/۰	D	فاصله ابتدایی بین قطره و میکروذرده

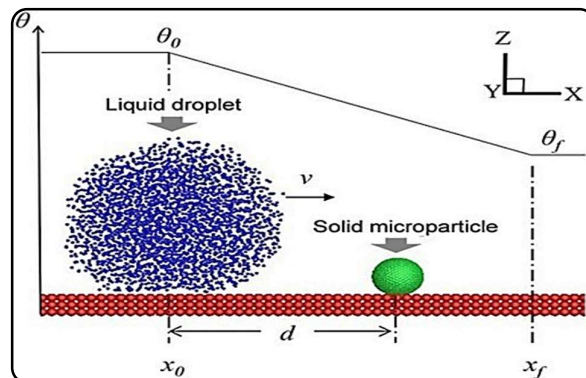
برای تبدیل آن‌ها از مقیاس DPD به اندازه‌های واقعی، واحد جرم نیز  $10 \times 10^{-13}$  کیلوگرم، دانسیته مایع ۱۰۰۰ کیلوگرم بر متر مکعب، واحد زمانی ۴/۱۵ میکروثانیه، تنش سطحی ۷/۵۳ نیوتن در سامانه MDPD و همچنین تنش سطحی بین مایع-بخار ۰/۰۷۳ نیوتن بر متر می‌باشد. تمام پارامترهای این مقاله با واحد طول، جرم و زمان بی بعد شده و نتیجه‌ها نیز با واحدهای کاهیده<sup>۱</sup> ارایه شده‌اند. با توجه به شاع بسیار ناچیز قطره، از نیروهای گرانشی در این پژوهش صرف نظر شده است.

## نتیجه‌ها و بحث

### نتیجه‌ها

برای درک و فهم بهتر از این که اساساً چه برهمنکشی بین قطره چسبان و میکروذردها صورت می‌گیرد، ابتدا بایستی به درک درستی از انتقال و رهایش رخ داده بین میکروذردهای آبگریز و قطره‌های چسبان دست یافت و این کار به کمک مدلی که پیش‌تر درباره آن توضیح داده شد، انجام داده می‌شود. همان‌گونه که گفته شد، قطره و میکروذرده مورد مطالعه در این تحقیق، به ترتیب با دارای شاع ۱ و ۵ واحد DPD می‌باشند. ضریب اصطکاک ابتدایی نیز  $2/۳$  بوده و سایر پارامترها نیز در جدول ۱ و ۲ گردآوری شده است.

در بررسی و تحلیل نتیجه‌ها، در گام اول بر روی آنالیز موقعیت قطره در طول فرایند انتقال و جایه‌جایی تمرکز و سپس تلاش شده است که ساختار جریان را هنگامی که قطره‌ها، میکروذردها را با خود حمل می‌کنند، بدست آورده و بررسی شوند.



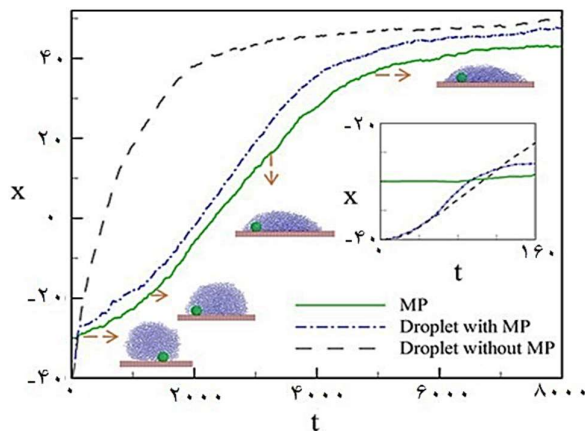
شکل ۱ - نشان‌دهنده انتقال و رهش میکروذرده (سیز) با استفاده از یک قطره (آبی) به‌دلیل گرادیان ترشوندگی بر روی لایه و سوبسترا (قرمز) می‌باشد. زاویه تماس بین قطره و سوبسترا به صورت خطی در امتداد محور x از  $\theta_0$  تا  $\theta_f$  تغییر می‌کند و مسیر حرکت قطره را مشخص می‌کند.

$$A_{lw} = \begin{cases} -8.77 & x < x_0 \\ -1.21 - \sqrt{57.08 + 3.30 \times \frac{\theta_0 - \theta_f}{(x_0 - x_f)} (x - x_0)} & x_0 \leq x \leq x_f \\ -21.71 & x > x_f \end{cases} \quad (9)$$

که در این معادله،  $x_0$  و  $x_f$  به ترتیب موقعیت‌های ابتدایی (انتهای آبگریز) و موقعیت انتهایی (انتهای آبدوست) با گرادیان ترشوندگی هستند و در شکل ۱ نشان داده شده‌اند.  $\theta_0$  و  $\theta_f$  به ترتیب زاویه تماس انتهایی آبگریز و انتهای آبدوست و  $d$  فاصله ابتدایی بین مرکز قطره و میکروذردها می‌باشد. سوبسترا از سه لایه شامل ذرهای جامد سخت که بر روی لایه بالایی آن شرط مرزی بازنایی اعمال شده است تشکیل شده است. در امتداد x و y هم شرط مرزی تناوبی اعمال می‌شود. مقدارهای پارامترهای مورد نیاز برای مدل سازی و همچنین گرادیان ترشوندگی مورد نیاز از جدول ۲ به دست می‌آیند. پارامترهای جاذبه و دافعه بین میکروذردها و مایع‌ها به ترتیب با  $A_{ls}$  و  $B_{ls}$  نمایش داده و طوری انتخاب می‌شوند تا میکروذرده از نوع آبگریز شود [۵۶]. همچنین از پژوهش پیشین این نتیجه به دست آمد که اصطکاک چرخشی در برابر اصطکاک انتقالی ناچیز بوده و قابل صرف نظر می‌باشد، در نتیجه در مطالعه کونونی، اصطکاک چرخشی ثابت فرض شده و مورد بررسی قرار نمی‌گیرد.

دو پارامتر دیگر مورد نیاز که طی شیبیه‌سازی تغییر می‌کنند، شامل شاع قطره  $R_s$  و ضریب اصطکاک استاتیکی  $f_r$  می‌باشد. برای بررسی و بحث بهتر در مورد نتیجه‌ها، از پارامترهای بدون بعد استفاده می‌شود [۳۳]. طول سامانه MDPD مورد نظر با ۱۰ میکرومتر که در مطالعه فعلی شاع میکروذرده جامد است، بی بعد می‌شود.

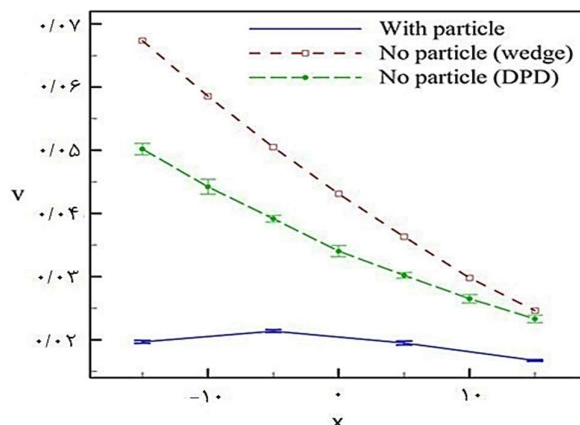
(۱) Reduced units



شکل ۲- مقایسه تاریخچه زمانی حرکت مرکز میکروذره (خط و نقطه چین) و مرکز قطره (خط کامل و ممتد) و مسیر حرکت قطره تحت شرایط پیشین بدون حضور میکروذره (خط چین). ضمیمه سمت راست نیز نشان دهنده یک نمای بزرگ شده این مسیر حرکت از  $t = 0$  تا  $t = 1600$  می باشد.

همان گونه که در بخش ضمیمه شده شکل ۲ مشاهده می شود (یک نمای بزرگ شده از  $t = 0$  تا  $t = 1600$ )، هنگامی که حرکت قطره آغاز می شود، یک پدیده جالب نیز رخ می دهد. مسیر نقطه خط چین، نشان دهنده حرکت قطره پیش از تماس با میکروذره می باشد. بنابراین این مسیر تقريبا در ابتدا منطبق بر مسیر حرکت قطره بدون میکروذره است که به صورت خط چین رسم شده است. هنگامی که مرکز قطره از نقطه  $x = -35$  می گذرد، نسبت به حالت بدون میکروذره سریع تر حرکت می کند که علت این مسئله، بالا بودن نیروهای جاذبه بين قطره و میکروذره می باشد. هر چند که در اين حالت هنوز میکروذره به علت مقاومت موجود بين لایه ها و میکروذره، در حالت سکون قرار دارد. سرانجام هنگامی که مرکز قطره از مرکز میکروذره عبور می کند، سرعت قطره به شدت کاهش پيدا كرده و میکروذره به آرامی، شروع به حرکت می کند. نتيجه های ارایه شده در شکل ۲ دارای مطابقت خوبی با داده های گزارش شده در مراجع می باشد [۳۳]. برای بررسی بیشتر و انجام آنالیزهای کمی، سرعت قطره در موقعیت های گوناگون را بر اساس روشی که ارایه و توسعه داده و حالت شبیه ساکن را در انتهای فرایند تداعی می کند، مورد بررسی قرار گرفت [۲۹]. در روش ارایه شده توسط ای، به قطره نیرو وارد می شود تا با يك سرعت ثابت و بدون تعییر شکل حرکت کند و به طور همزمان گرادیان رطوبت و ترشوندگی اعمال شده، قطره را هنگامی که در حال حرکت است، روی يك مقدار مشخص ثابت نگه می دارد. با استفاده از اين روش، سرعت های ثابت قطره در مکان های ۵، ۱۵ و  $-15 = x$

یک تاریخچه زمانی از حرکت میکروذره و مرکز قطره در شکل ۲ نشان داده شده است. برای انجام مقایسه، در همان شکل ۲، مسیر حرکت مرکز قطره در حالی که دارای میکروذره نیست، نیز رسم شده است. همان گونه که در شکل ۲ نشان داده شده است، تحت شرایط ایجاد شده، میکروذره توسط قطره در جهت محور  $x$  حمل و منتقل می شود که این عمل با توجه به گرادیان و تعییر در میزان ترشوندگی لایه های سطح جامد (سوبستر) صورت گرفته است. منحنی مسیر حرکت میکروذره از دو بخش شامل يك قسمت مقرر و سپس يك قسمت محدب تشکیل یافته شده است، که این بدان معناست که میکروذره در ابتدا شتاب مثبت را تجربه کرده و سرعت می گیرد و سپس شتاب منفی گرفته و از سرعتش کاسته می شود. با توجه به کوچک بودن سطح مقطع در برهمنکش بین فاز مایع و جامد، نیروهای ویسکوز بین قطره و لایه های جامد، اتلاف کمی دارند و همین مسئله سبب آغاز شتاب گیری و افزایش سرعت شده است. موضوع دیگری که شتاب گیری را تسريع می کند، بالا بودن گرادیان ترشوندگی و رطوبت است که باعث تحریک و افزایش نیروی محرکه می شود. اما در ادامه پس از گذشتن از نقطه  $x = 40$  و  $t = 4800$  سرعت میکروذره کاهش پیدا كرده و به صفر میل می کند که دلیل آن گرادیان رطوبت سطح تماس می باشد که سبب کاهش نیروی محرکه می شود. این کاهش نیروی محرکه و از طرف دیگر گسترش و پخش قطره، در کنار هم باعث افزایش نیروهای اتلاف کننده ویسکوز شده و در نتیجه کاهش سرعت رخ می دهد. تصویرهای لحظه ای از ریخت شناسی قطره و همچنین موقعیت نسبی قطره و میکروذره در چهار زمان گوناگون یعنی  $t = 4000$  و  $t = 3200$ ،  $t = 1400$  و  $t = 80$  ثانیه در شکل ۲ آورده شده است. همان گونه که به روشنی مشخص است، در آغاز و ابتدای فرایند، قطره، میکروذره را از خود عبور داده و زمانی که میکروذره از آن گذشته و عبور کرد آن را می کشد. این مسئله بدین دلیل است که نیروهای اصطکاک بین میکروذره و سطح صاف جامد، بسیار بیش تر از نیروهای اصطکاک بین میکروذره و قطره می باشد. قابل توجه هست که در فرایند انتقال، میکروذره نزدیک به انتهای و قسمت دم شکل قطره می ماند. بنابراین اگر به مسیر حرکت میکروذره توجه کنید، همواره مقداری پایین تر از مسیر مرکز قطره است. به علاوه با توجه به حضور و وجود میکروذره، يك مقاومت مضاعف بوجود آمده است، که این مقاومت باعث می شود قطره از سرعت حرکت پایین تری برخوردار باشند (نسبت به حالتی که میکروذره وجود ندارد). علاوه بر این به خاطر دلیلی مشابه، یعنی وجود میکروذره، مسافت نهایی طی شده توسط قطره نیز کاهش می یابد.

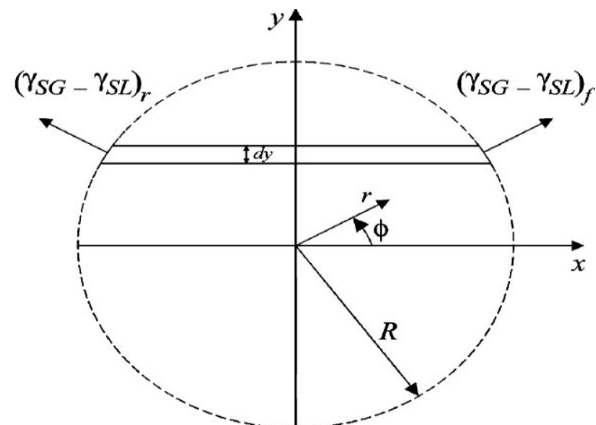


شکل ۴ - روند تغییرهای سرعت میکروقطره در نقاط گوناگون در طول مسیر حرکت که دارای تغییرهای ترشوندگی می‌باشد. خط ممتد و یکپارچه نشان دهنده نتیجه‌های به دست آمده از شبیه‌سازی عددی (پژوهش کنونی) برای میکروقطره دارای میکرووذره آبگردیز می‌باشد (مقدار کمینه و بیشینه خطاب برابر است با: ۰/۵ و ۰/۱٪). خط چین بلند با دایره‌های توپر نشان دهنده نتیجه‌های شبیه‌سازی عددی برای سرعت میکروقطره بدون میکرووذره (مقدار کمینه و بیشینه خطاب برابر است با: ۲ و ۰/۵٪) می‌باشد. خط چین دارای مربع‌های توخالی نیز نشان دهنده نتیجه‌های تقریبی و تخمینی wedge برای میکروقطره بدون میکرووذره می‌باشد.

موقعیت y قرار داشته و ارتفاعش از مرکز قطره تا خط تماس افزایش می‌یابد، توسط مدل Wedge بررسی شده است. شماتیکی از شکل ردبای قطره بر روی سطح جامد در شکل ۳ نمایش داده شده است. سرعت متوسط قطره که مقدار آن برابر با U است با استفاده از معادله (۱۰) به دست می‌آید [۴۷].

$$(10) \quad U = \frac{\sigma R \theta_e^2 d\theta_e}{3\mu \ln(\varepsilon)}$$

که در آن،  $\varepsilon$  نشان دهنده طول لغزش،  $\mu$  ویسکوزیته میکروقطره،  $\sigma$  تنش سطحی،  $R$  شعاع میکروقطره و  $\theta_e$  زاویه تماس تعادلی بین میکروقطره و سوبسترا می‌باشد. در شکل ۴ خط چین قرمز دارای مربع‌های توخالی، نشان می‌دهد که، نتیجه‌های تئوری wedge میکروقطره بیشتر از نتیجه‌های شبیه‌سازی عددی پژوهش کنونی می‌باشند، اما با افزایش  $x$  یا کاهش  $\theta_e$ ، این اختلاف کاهش پیدا می‌کند. تفاوت بین نتیجه‌های کنونی و تئوری تقریب زنی wedge به سه دلیل منطقی می‌باشد؛ اول آن که روش تقریب زنی wedge بر اساس یک راه حل عددی کامل بنا نشده است و طبق نظر سایبرمانیان و همچنین /حمدلوی داراب و فنگ، یک روش و راه حل درست باید بتواند مقاومت بالاتر که سبب کاهش سرعت می‌شود را



شکل ۳ - نشان دهنده تصویر ردبای قطره بر روی سطح جامد می‌باشد که به صورت کروی بوده و تصویر دو بعدی آن، به صورت دایروی می‌باشد.  $\gamma_{SG}$  و  $\gamma_{SL}$  به ترتیب تنش‌های سطحی جامد-گاز و جامد-مایع می‌باشند.

به دست آمده و نتیجه‌ها در شکل ۴ ارایه شده‌اند. همچنین مشاهده شد که سرعت قطره پس از آن که میکرووذره را برداشته و حمل کرد، ابتدا مقداری افزایش و سپس کاهش می‌یابد که این موضوع آنالیزهای کیفی انجام گرفته در شکل ۲ را تایید می‌کند. علاوه بر این در شکل ۴، خط چین، سرعت قطره را در حضور میکرووذره نشان می‌دهد. همان‌گونه که پیش‌تر نیز اشاره شد، سرعت قطره نسبت به حالتی که میکرووذره حضور ندارد، کمتر است و این پدیده به خاطر وجود نیروهای اصطکاکی بین میکرووذره و سطح جامد لایه‌ها می‌باشد. همچنین شکل ۴ نشان می‌دهد که سرعت قطره در حالتی که میکرووذره حضور ندارد، به طور یکنواختی در ناحیه مورد بررسی، کاهش یافته است. اما زمانی که میکرووذره وجود دارد، سرعت قطره به صورت منحنی وار تغییر می‌کند.

#### مقایسه نتیجه‌ها با مراجع

قابلیت استفاده و همچنین نتیجه‌های به دست آمده از روش MDPD در برخی از فرایندها، پیش‌تر مورد بررسی قرار گرفته است [۲۹]. اما در پژوهش حاضر هم نتیجه‌های به دست آمده با داده‌های موجود در مراجع مقایسه گردید. برای انجام مقایسه، در ابتدا، سرعت قطره در حالتی که میکرووذره حضور ندارد در موقعیت‌های گوناگون با استفاده از روش و تئوری تقریب‌زنی Wedge به دست آمد [۴۷]. در روش Wedge، قطره به چند برش عمودی تقسیم می‌شود. حرکت یک برش عمودی با عرض دیفرانسیلی  $dy$  از قطره کروی که در

(۱) Slip length

جريان در تمامی قسمت‌های میکروقطره مشابه است. در ناحیه‌ای که تماس بین میکروقطره و میکرووذر برقرار شده است، فاز مایع سریع تر به سمت جلو حرکت می‌کند و این به خاطر جذب دو طرفه و متقابل بین آن‌هاست که در شکل ۵-ب نشان داده شده است. همچنین حرکت سریع تر میکروقطره پس از نقطه  $x=35$  را که در شکل ۲ آمده است توجیه می‌کند. لازم به ذکر است که میکروقطره نه تنها در جهت محور  $x$  به دلیل گرادیان رطوبت و ترشوندگی حرکت می‌کند، بلکه مقدار کمی انحراف به سمت محور  $y$  از خود نشان می‌دهد که به علت عامل‌ها و اثرهای رندوم مانند به کارگیری فرمولاسیون MDPD بدون داشتن یک نیرو محركه مناسب و کارامد است. بنابراین میکروقطره و میکرووذر در راستای محور تقارن خود و محور  $y$  یکدیگر را قطع نکرده و ارتباط پیدا نمی‌کنند. هنگامی که میکرووذر به طور کامل در داخل میکروقطره غوطه‌ور شد، برای یک بازه زمانی کوتاه همچنان در همان موقعیت ابتدایی خود باقی می‌ماند که در شکل ۲ مسیر منحنی‌وار آن ترسیم شده است.

ساختر جريان در داخل قطره برای سه لحظه گوناگون پیش از آن که میکرووذر حرکت کند، به ترتیب در شکل ۶ آمده و این حالت را هم در امتداد  $z$  هم در امتداد  $z$  میکرووذر نشان می‌دهد. با توجه به بالا بودن مقدار نیروی اتلاف‌کننده ویسکوزیته، سرعت مایع در اطراف میکرووذر تا حدودی کمتر از مقدار سرعت آن در قسمت بالایی میکروقطره می‌باشد. این کاهش و تفاوت در مقدار سرعت به دلیل وجود میکرووذر نیست. تاثیر نیروهای اتلاف‌کننده ویسکوزیته در شکل‌های ۶-ب، ۶-ت و ۶-ج به روشنی مشاهده می‌شود. اگر شکل‌های ۶-ب، ۶-ت را در نظر بگیریم، مشاهده می‌شود که میکروقطره مقداری در جهت  $y$  منحرف شده است که به علت اثرهای رندوم فرمولاسیون MDPD است. با توجه به این که هیچ نیروی محركه چشمگیری در جهت  $y$  توسط گرادیان رطوبت و ترشوندگی وجود ندارد، بنابراین مقدار این انحراف کم است. از آن جایی که حرکت میکروقطره در جهت محور  $x$  سریع تر از میکرووذر است، قطره تلاش می‌کند تا میکرووذر را پشت سر بگذارد. بنابراین میکرووذر عقب مانده و همان‌گونه که نشان داده شده است، به قسمت انتهایی و دم شکل قطره می‌رسد. در این لحظه حرکت فاز مایع در قسمت عقبی میکرووذر آهسته‌تر از میزان حرکت آن در جلوی میکرووذر در جهت محور  $x$  است. به دلیل نیروهای چسیندگی و نیروهای سطحی قطره، قسمت دم شکل قطره، بخش تحت تنش خود را به پیش می‌کشد و این موضوع سبب وجود بردارهای سرعت به سمت قسمت دم شکل قطره می‌شود که

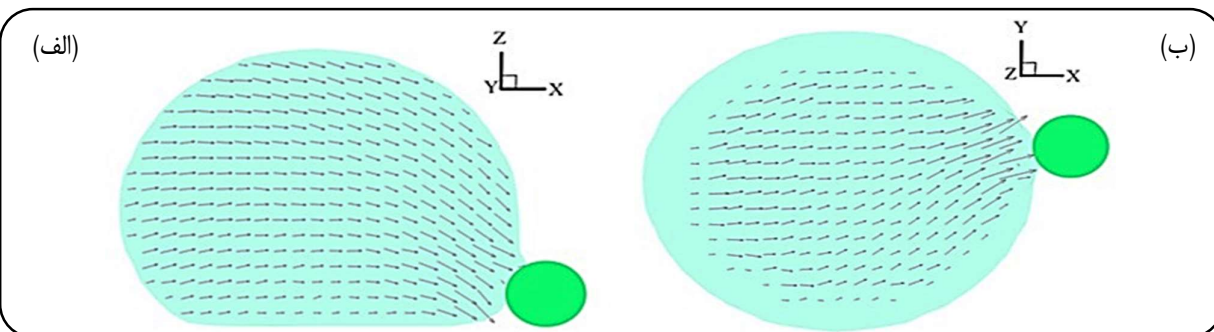
پیش‌بینی کند [۵۷.۵۸]. دلیل دوم آن که در روش تقریب‌زنی wedge این چنین فرض شده است که شکل میکروقطره‌ها به صورت کروی می‌باشد و تصویر ردبای آن‌ها بر روی سوبسترا نیز دایروی شکل در نظر گرفته شده است، در حالی که در شبیه‌سازی، شکل میکروقطره تحت تاثیر عامل‌ها هیدرودینامیکی است و تصویر آن نیز در جهت محور  $y$  پهن‌تر از شکل آن در راستای محور  $x$  می‌باشد، چون گرادیان ترشوندگی در راستای محور  $x$  کم است. دلیل سوم هم این که، تئوری wedge بر این اساس ایجاد و گسترش یافته است که زاویه تماس را کوچک در نظر گرفته و از تقریب‌های کوچک استفاده می‌کند. بنابراین در زاویه‌های تماس کوچک‌تر، نتیجه‌های تقریب wedge به نتیجه‌های شبیه‌سازی نزدیک‌تر هستند. نکته دیگر وجود مقداری خطأ در نتیجه‌های گزارش شده با استفاده از روش DPD می‌باشد که در نظر گرفتن نیروهای تصادفی براونی باعث بروز این مقدار خطأ می‌شود.

### ساختر جريان

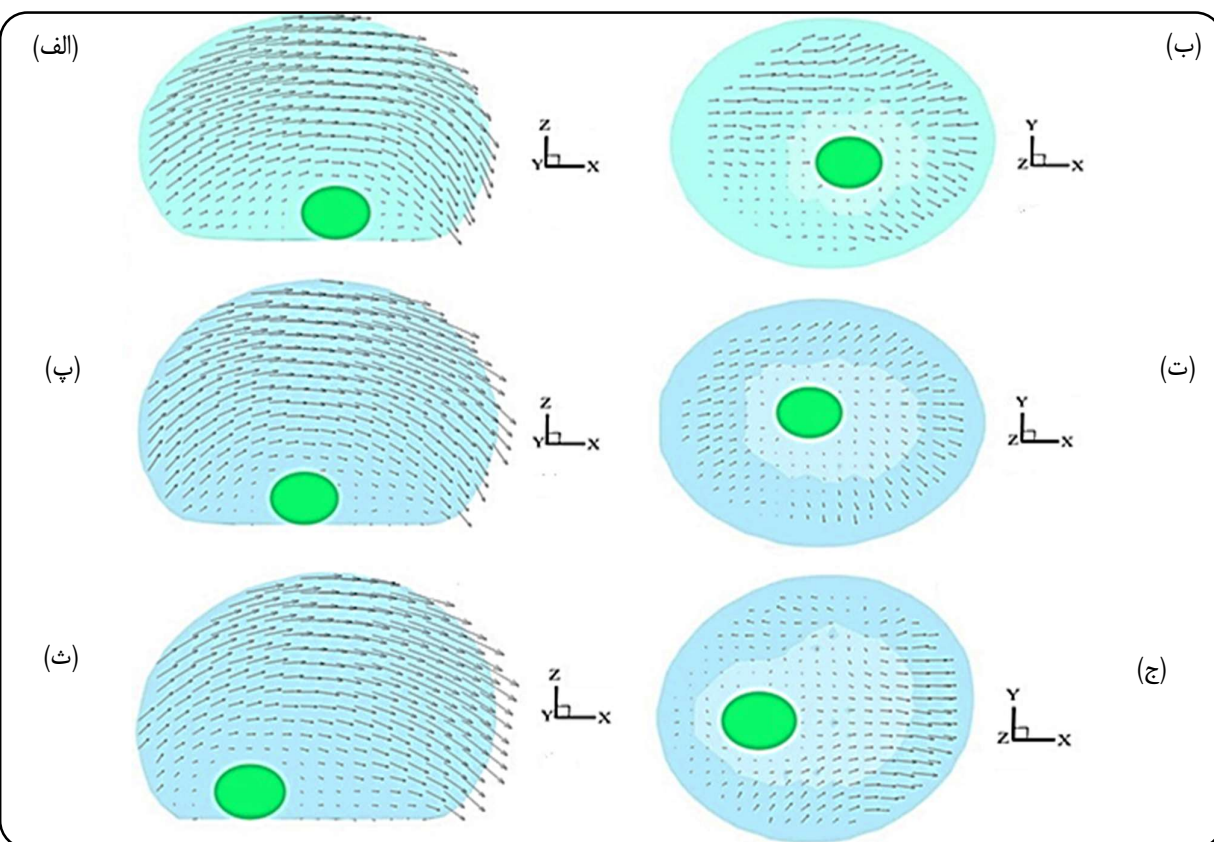
برای بررسی بیش‌تر، برهمنکش بین میکرووذر و میکروقطره چسبان و ساختار جريان سیال موجود در داخل میکروقطره‌ای که دارای میکرووذر است مورد مطالعه قرار گرفت. به همین منظور روش تحلیل شبه ساکن مورد استفاده قرار گرفت، تا در مکان‌های مشخص سرعت‌های محلی که از نظر استاتیکی ثابت هستند، به دست آید [۲۹]. در این روش محاسبه‌ها داخل سلول‌های مکعبی شکل تقسیم شده و سرعت‌های موضعی سیال در هر سلول از روش میانگین‌گیری از داده‌های نمونه به دست می‌آید. این امر با در نظر گرفتن تعداد مطلوب و کافی از نمونه‌ها انجام می‌گیرد تا نوسانات و خطاهای آماری حذف شوند یا به حداقل برسند. این روش برای پیش‌بینی ساختار جريان در داخل میکروقطره چسبان در سه مرحله گوناگون مورد استفاده قرار گرفته است:

- (الف) هنگامی که میکروقطره میکرووذر را در بر گرفته یا احاطه می‌کند.
- (ب) هنگامی که میکرووذر منتقل یا حمل می‌شود.
- (ج) هنگامی که میکرووذر رها می‌شود.

الف) هنگامی که میکروقطره میکرووذر را در بر گرفته یا احاطه می‌کند ساختار جريان در داخل میکروقطره هنگامی که قطره با میکرووذر تماس پیدا کرده در دو موقعیت گوناگون یعنی  $z=9-y$  در شکل ۵ نمایش داده شده است. همان‌گونه که لی در مورد یک تک قطره چسبان پیش‌بینی کرده بود، در حالت کلی ساختار



شکل ۵ - ساختار جریان در داخل میکرو قطره زمانی که میکرو ذره فقط تماس پیدا می کند (الف) صفحه ۷، (ب) صفحه ۸.

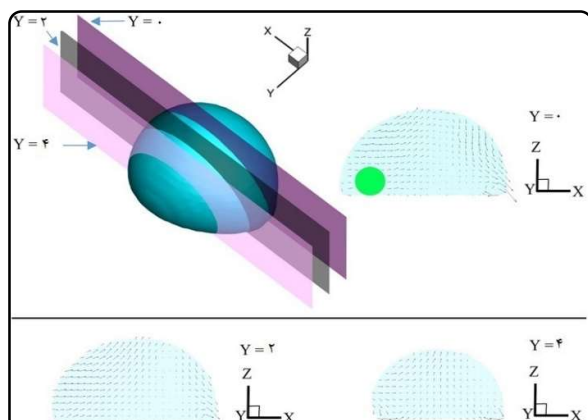


شکل ۶ - ساختار جریان در داخل میکرو قطره (الف، پ، ث) صفحه های y و (ب، ت) صفحه های z در سه لحظه متوالی از زمانی که میکرو قطره میکرو ذره را احاطه کرده و سپس میکرو ذره را از موقعیت اولیه آن، جابه جا می کند.

سبسٹرای جامد حمل می شود. بردارهای سرعت درون میکرو قطره در سه صفحه  $x$  و  $y$  و  $z$  زمانی که میکرو ذره در میانه راه به یک موقعیت مشخص مانند  $x = -20$  نمایش داده شده اند. همان گونه که نشان داده شده است،  $8$  و  $9$  نمایش داده شده اند. همان گونه که نشان داده شده است، شکل قطره مانند یک نیم تخم مرغ است. این شکل با شکل قطره که حاوی میکرو ذره نیست و به شکل نیم دایره می باشد،

در شکل ۶-ج رسم شده است. بدلیل وجود این برهمنکش ها و حضور میکرو ذره ها، قطره به صورت بیضی شکل در می آید.

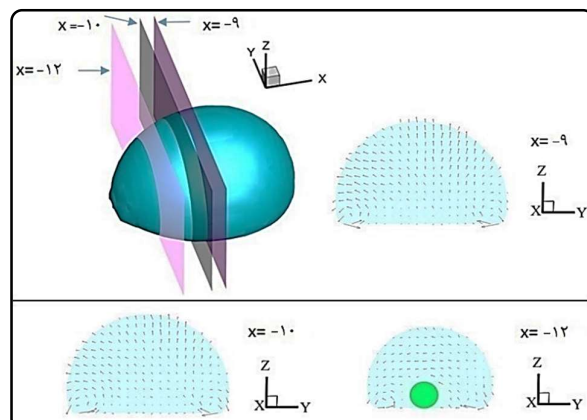
(ب) میکرو قطره میکرو ذره را حمل می کند زمانی که میکرو ذره توسط میکرو قطره کشیده یا بلند می شود، این میکرو ذره توسط میکرو قطره به قسمت انتهایی آبدوست



شکل ۸ - بردارهای سرعت جریان سیال در داخل قطره در مقدارهای گوناگون  $y$  (روی صفحه‌های  $y = +$ ,  $y = 0$ ,  $y = -4$ ) زمانی که میکروژره، توسط قطره، جابه جا می‌شود. موقعیت میکروژره با یک دایره در موقعیت  $y = 0$  نشان داده می‌شود.

میکروژره با شعاع ۱ که دارای ضریب‌ها اصطکاک  $0/2$ ,  $0/0$ ,  $0/4$  و  $1/6$  با سطح جامد است انجام شده‌اند. پارامترهای دیگر مورد استفاده از جدول‌های ۱ و ۲ به دست می‌آیند. نتیجه‌ها برای تاریخچه زمانی و همچنین موقعیت ذره با استفاده از ضریب‌های اصطکاک ایستایی گوناگون در شکل ۱۰ نشان داده شده است. در مواردی با ضریب اصطکاک  $0/2$ ,  $0/0$ ,  $0/4$  و  $0/8$ , میکروژره به سمت آبگیری جامد سوبسترا ( $x = 40$ ) که دارای گرادیان رطوبت‌پذیری و ترشوندگی بالاتری است، حمل می‌شود. اما برای ضریب اصطکاک ایستایی زمان زیادی برای حمل میکروژره لازم است. ولی اگر ضریب اصطکاک تا  $1/6$  افزایش یابد، دیگر ذره به سمت میانی آبدوست نمی‌تواند حمل شود. در میانه راه انتقال ( $x = -20$ ) میکروژره از قطره جدا شده و با مقدار کمی مایع در آن قسمت می‌ماند. این رهایش میکروژره در موقعیتی اتفاق می‌افتد که شب مشاهده شده در خط مسیر آن بیشینه باشد، که به عنوان سرعت بحرانی تعریف می‌شود. اینطور به نظر می‌رسد که رهایش میکروژره یا شکست قطره، به سرعت بحرانی قطره ارتباط دارد. قطره فقط می‌تواند میکروژره را با سرعت بحرانی حمل کند.

برای درک بهتر، ساختار جریان در داخل قطره درست پیش از رخدان رهایش با جزئیات بیشتر آنالیز شده است. بردارهای سرعت در صفحه‌های  $z = 0$  و  $z = 12$  به ترتیب در شکل‌های ۱۱ و ۱۲ نمایش داده شده‌اند. نتیجه مستقیم روابط میان نیروهای اصطکاک موجود میان میکروژره و سوبسترا، نیروهای اتلاف‌کننده ویسکوز میان سطح میکروژره جامد و قطره، نیروهای محركه تولید شده توسط گرادیان

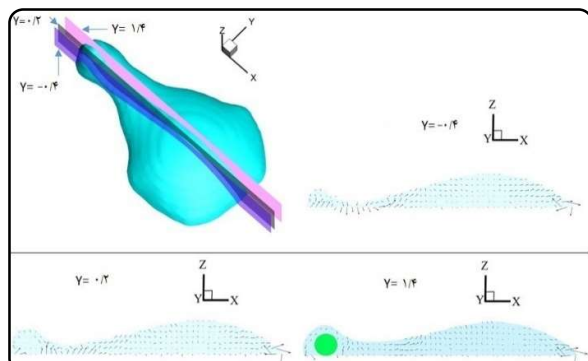


شکل ۷ - بردارهای سرعت جریان سیال در داخل قطره در مقدارهای گوناگون  $x$  (روی صفحه‌ها  $x = -9$ ,  $x = -10$ ,  $x = -11$ ,  $x = -12$ ) زمانی که میکروژره، توسط قطره، جابه جا می‌شود. موقعیت میکروژره با یک دایره در موقعیت  $x = -12$  نشان داده می‌شود.

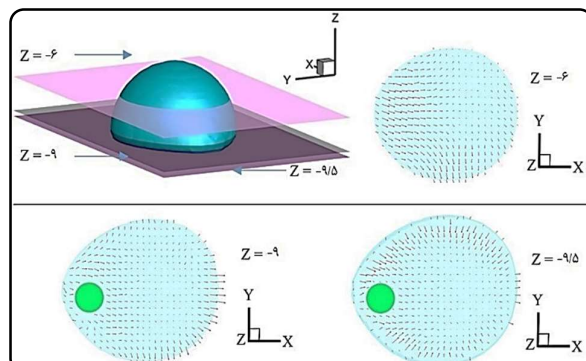
متفاوت است و دلیل آن نیز این واقعیت است که با وجود میکروژره و اثرهای آن، دنباله قطره در مقایسه با قسمت پیش رو آن نازک‌تر و باریک‌تر می‌باشد. در کل با وجود میکروژره در داخل قطره، در مجاورت خطوط تماس سه فازی، یک بازه جریان چرخشی سه فازی در حین فرایند حمل ذره ایجاد می‌شود. بازه جریان چرخشی توسط بردارهای سرعتی که به سمت داخل و خارج می‌باشند، در شکل ۹ و روی صفحه‌های  $z = -9$  و  $z = -9/5$  نشان داده شده است. لازم به ذکر است که داخل کل قطره جریان چرخشی بزرگی وجود ندارد. به دلیل این که میکروژره در دنباله قطره می‌ماند، جریان در این نقطه قوی است. مایع پشت میکروژره، آن را به سمت جلو هل می‌دهد تا با هم حرکت کنند. این ساختار جریان با حالتی که میکروژره داخل قطره وجود ندارد، به کلی متفاوت است. همچنین در حالتی که داخل قطره میکروژره وجود دارد، سرعت آن نسبت به حالت بدون میکروژره، کم‌تر است. در مورد بعدی اینطور به نظر می‌رسد که قطره به جلو می‌خزد و ذره را با خود می‌کشد.

### (ج) قطره میکروژره را راه‌هایی گند

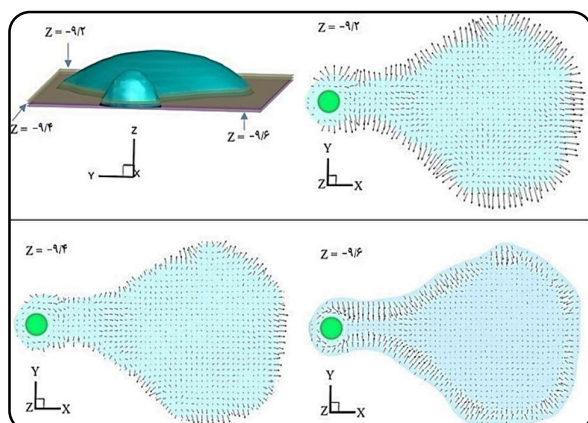
همان‌گونه که بحث شد، وجود یک میکروژره، حرکت قطره را به دلیل وجود اصطکاک میان میکروژره و سوبسترا و بروز تغییر اساسی در ساختار جریان در درون قطره، کم می‌کند. لین و همکاران دریافتند اگر اصطکاک میان میکروژره و سوبسترا بیشتر شود، منجر به افتادن میکروژره از داخل قطره می‌شود [۳۳]. در ادامه تحلیلی برای روشن کردن فیزیک مسئله و معیارهای وقوع رهایش قطره، ارایه می‌شود. در تحقیق کنونی محاسبه‌ها برای قطره با شعاع ۵ و



شکل ۱۱ - بردارهای سرعت جریان سیال در داخل قطره در مقدارهای گوناگون  $y$  (بروی صفحه‌های  $1/4$ ،  $0/2$ ،  $-1/4$ ) زمانی که میکروژره، توسط قطره رها می‌شود. موقعیت میکروژره با یک دایره در موقعیت ( $y=1/4$ ) نمایش داده می‌شود.

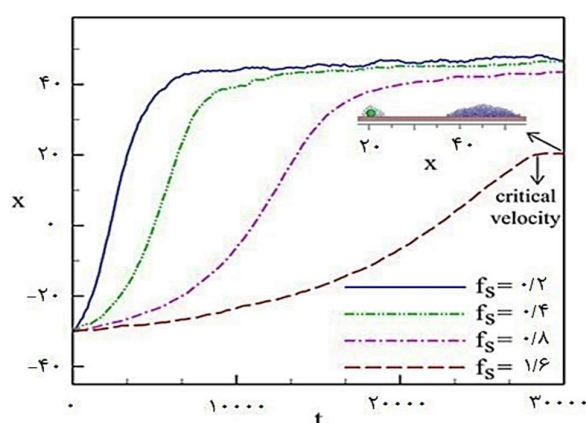


شکل ۹ - بردارهای سرعت جریان سیال در داخل قطره در مقدارهای گوناگون  $z$  (بروی صفحه‌های  $-6$ ،  $-9/5$ ،  $-9/4$ ،  $-9/3$ ) زمانی که میکروژره، توسط قطره، جایه جا می‌شود. موقعیت میکروژره با یک دایره در موقعیت ( $z=-9/5$ ) نشان داده می‌شود.



شکل ۱۲ - سرعت جریان سیال در داخل قطره در مقدارهای گوناگون  $z$  (بروی صفحه‌های  $-9/2$ ،  $-9/4$ ،  $-9/6$ ) زمانی که میکروژره، توسط قطره رها می‌شود. موقعیت میکروژره با یک دایره نشان داده می‌شود.

همچنان یک حرکت چرخشی در مجاورت خط تماس سه بعدی<sup>۱</sup> و سه فازی وجود دارد. لازم به ذکر است که هر چقدر قطره بیشتر در روی سوبسترا پخش شود مقداری از مایع خود را به دلیل شکافته شدن از دست می‌دهد، در نتیجه سرعت آن در مقایسه با فرایند حمل و جابه‌جایی، کمتر می‌شود. زمانی که میکروژره رها می‌شود قطره تعییر شکل داده و در بیشتر مواقع شکل نیم کره به خود می‌گیرد. پس از بررسی ساختار جریان داخل قطره، برای فهم بهتر پدید آمدن رهایش میکروژره، یک تحلیل کمی برای نیروهای اعمال شده روی میکروژره انجام می‌شود. بدین منظور نیروی محرکه ( $F_s$ ) توسط قطره و نیروی اصطکاک سوبسترا ( $f_s$ ) بر روی میکروژره در موقعیت‌های

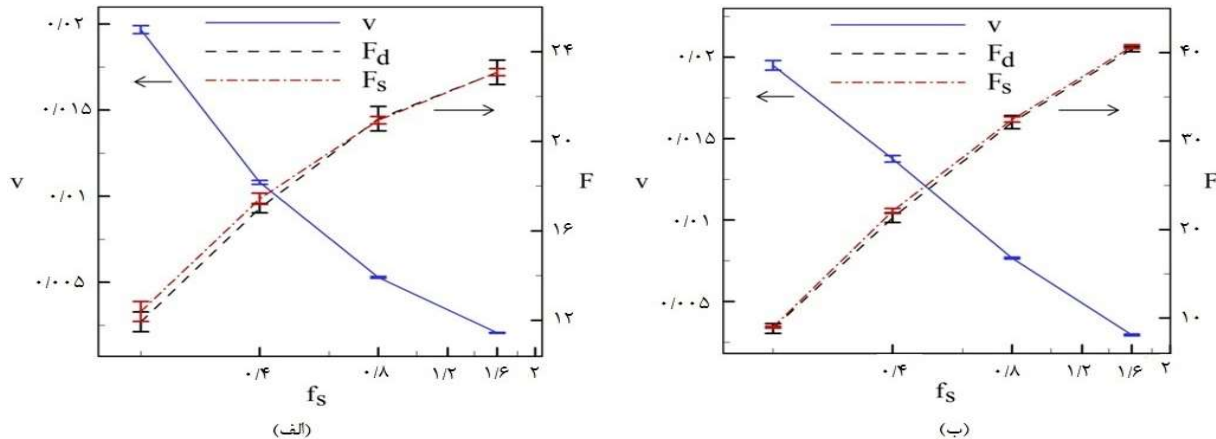


شکل ۱۰ - تاریخچه حرکت میکروژره در جهت محور  $x$  ها با استفاده از ضریب‌های اصطکاکی گوناگون. ضمیمه نشان‌دهنده موقعیت میکروژره و قطره در زمان  $t=30000$  و ضریب اصطکاکی  $f_s=1/6$  می‌باشد.

ترشوندگی روی سوبسترا، جداشدن دنباله انتهایی قطره می‌باشد که در شکل‌های ۱۱ و ۱۲ نشان داده شده است. میکروژره تلاش می‌کند که مقداری مایع نگه دارد و این پل مایع<sup>۱</sup>، قسمت دنباله را به قسمت پیش‌رونده متصل می‌کند. زمانی که هنوز نیروی محرکه در دسترس است و قطره به سمت جلو در جهت محور  $x$  روی سوبسترا جابه جا می‌شود، پل مایع شکسته شده و قسمتی از آن با سرعتی نسبتاً بیشتر به سمت جلو جابه جا می‌شود. این موضوع به خاطر نیروهای فصل مشترک علی‌الخصوص نیروی چسبندگی قطره می‌باشد. قسمت باقی‌مانده پل مایع به سمت عقب و میکروژره حرکت کرده تا آن را در بر بگیرد. مشابه قسمت حمل و جابه جایی،

(۱) Liquid meniscus

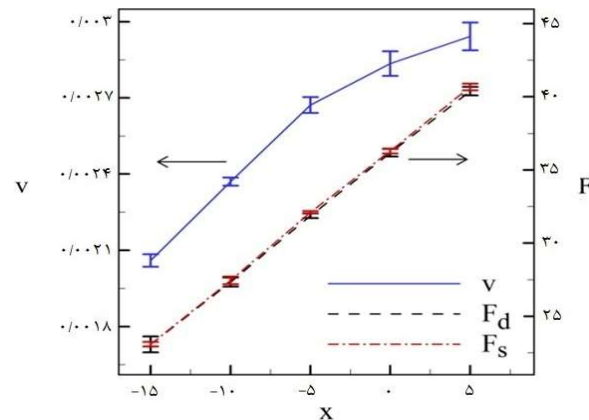
(۲) 3D contact line



شکل ۱۳ - نشان‌دهنده نیروی محركه قطره ( $F_d$ ) بر ميكروذره، نیروی اصطکاکي ( $F_s$ ) از لایه یا سوبسترا بر ميكروذره، و همچنین سرعت ميكروذره ( $v$ ) با استفاده از ضریب‌های اصطکاکي گوناگون در (الف)  $x=15$  تا  $-5$  در (ب)

همچنین سرعت ميكروذره و نیروها در موقعیت‌های گوناگون به ازای  $f_s = 1/6$  در شکل ۱۴ نمایش داده شده‌اند. نقاط از  $x=15$  تا  $5$  نمونه‌گیری شده‌اند. پیش از وقوع رهایش همان‌گونه که شکل ۱۴ نشان می‌دهد،  $F_d$  و  $F_s$  با افزایش سرعت، افزایش می‌یابند. همچنین یک رابطه مثبتی میان سرعت و نیروهای حول مسیر جابه‌جایی ميكروذره وجود دارد. همان‌گونه که قبل از ذکر شد، نیروی محركه برای جابه‌جایی قطره چسبان توسط گرادیان ترشوندگی روی سوبسترا که همیشه به اندازه کافی برای جلو بردن قطره قوی است، تامین می‌شود. اگرچه که نیروی محركه بر روی ميكروذره به‌دلیل برهمنکش میان ميكروذره و قطره است، ولی توسط نیروهای چسبندگی محدود می‌شوند. بنابراین زمانی که نیروی محركه مورد نیاز به افزایش خود ادامه می‌دهد و در آخر فراتر از مقدار بیشینه می‌شود، ميكروذره نمی‌تواند قدم به قدم پیش برود، در نتیجه به همراه مقداری مایع رها می‌شود.

برای اثبات این فرضیه، محاسبه‌های بیشتری با استفاده از شش قطره و با شعاع‌های ۵، ۷، ۸، ۹، ۱۰ و  $1/6$  در  $f_s=1/6$  انجام شد و نتیجه‌ها برای محل‌های رهایش برای قطرهای با اندازه‌های گوناگون در جدول ۳ آورده شده است. زمانی که اندازه قطره افزایش می‌یابد، رهایش ذره در مکان‌های نزدیک نواحی آنگریز (نزدیک به نقطه شروع حرکت قطره روی سوبسترا) اتفاق می‌افتد و برای رهایش ميكروذره، در مسافت کمتری به سرعت بحرانی می‌رسد. لازم به ذکر است که روش‌های آماری نیمه ساکن نمی‌توانند برای اندازه‌گیری سرعت بحرانی و بیشترین نیروی محركه قطره به طور دقیق کاربرد داشته باشند، زیرا با روش آماری MDPD نمی‌توان



شکل ۱۴ - نشان‌دهنده نیروی محركه قطره ( $F_d$ ) بر ميكروذره، نیروی اصطکاکي ( $F_s$ ) از لایه یا سوبسترا بر ميكروذره، و همچنین سرعت ميكروذره ( $v$ ) با استفاده از ضریب اصطکاکي  $1/6$  در موقعیت‌های گوناگون  $x=15$  تا  $5$

گوناگون مسیر برای ضریب‌های اصطکاکي گوناگون ( $f_s$ ) محاسبه می‌شود. همچنین یک روش شبیه ایستا برای نمونه‌گیری و میانگین‌گیری نیروهای مربوطه و سرعت ذره به کار گرفته شد. نتیجه‌ها برای نیروها و سرعت‌ها در مکان‌های  $x=-5$  و  $x=5$  با  $f_s=1/6$  استفاده از ضریب‌های گوناگون اصطکاک ایستایی در شکل ۱۳ نشان داده شده است. همواره به هم نزدیک هستند. زمانی که  $f_s$  افزایش یابد، نیروی اصطکاک نیز افزایش یافته که در نتیجه آن نیروی محركه بیشتری برای تدوام حرکت مورد نیاز خواهد بود. در  $f_s$  های بالا، سرعت قطره و ميكروذره به‌طور طبیعی به خاطر اصطکاک زیاد کاهش می‌یابد.

قطره به صورت خزشی و آرام رو به جلو حرکت کرده و میکروژره نیز به خاطر برایند نیروهای اصطکاکی، اتلاف کننده ویسکوز و گرادیان ترشوندگی، در قسمت عقب می‌ماند. نکته مهم‌تر، تغییرهای غیر یکنواخت سرعت قطره در مجاورت میکروژره می‌باشد. اصطکاک بین میکروژره و سیال نه تنها می‌تواند مانع حرکت قطره شود، بلکه ممکن است باعث رهایش میکروژره از قطره نیز بشود. در صورتی که نیروهای اصطکاکی بسیار قوی باشند، میکروژره پیش از رسیدن به انتهای آبگریز ممکن است در میانه راه از قطره جدا شود. افزایش نیروی اصطکاکی باعث افزایش نیروی محركه می‌شود که تنها توسط قطره این افزایش ممکن می‌باشد. اگر چه این نیروی محركه توسط نیروی چسبندگی محدود می‌شود ولی چنان چه مقدار این نیرو بیشتر از بیشترین نیرو شود، پدیده رهایش میکروژره از قطره اتفاق می‌افتد. سرعت بحرانی، دقیقاً سرعت پیش از رخ دادن رهایش می‌باشد که با استفاده از روش ردیابی مثبت یا دنبال کردن خطوط سیال بهدست می‌آید. با افزایش شاعع قطره از ۵ به ۱۰، سرعت بحرانی حدود ۱۸ درصد افزایش می‌یابد. بدین معنا که با افزایش دو برابری شاعع و هشت برابری حجم، سرعت بحرانی تنها ۱۸ درصد افزایش یافته که مقدار کمی است، در نهایت، نتیجه می‌گیریم که ریخت‌شناسی قطره و گرادیان ترشوندگی تاثیر زیادی بر سرعت بحرانی نداشته و تنها نیروهای چسبندگی بر روی سرعت بحرانی موثر می‌باشند.

امیدواریم پژوهش‌ها و مطالعه‌های انجام شده نه تنها به فهم بهتر و اساسی‌تر پدیده پیچیده جریان سیال داخل قطره دارای میکروژره‌ها آبگریز شود، بلکه نتیجه‌های بهدست آمده باعث طراحی بهینه‌تر و بهتر تجهیزات و فرایندهای با تکنولوژی بالا از قبیل ریزسیال شناسی دیجیتال، انتقال عامل‌های دارویی، پلتفرم‌های سامانه آزمایشگاه روی تراشه، خودتیپریزشوندگی و موارد مشابه در این زمینه نیز بشود.

## قدرتانی و تشکر

این مقاله مستخرج از طرح پژوهشی خاتمه یافته از محل اعتبارات پژوهشی دانشگاه تبریز می‌باشد. تاریخ تصویب طرح ۱۳۹۷/۱۲/۱۹ می‌باشد.

## فهرست نمادها

- مختصات ذره نام
- سرعت ذره نام
- نیروی ذره نام

$\vec{r}_{ij}$   
 $\vec{v}_i$   
 $\vec{f}_i$

جدول ۳ - موقعیت و سرعت بحرانی برای رهایش میکروژره از قطره‌ها  
دارای اندازه‌های گوناگون، تمامی اندازه‌ها در واحد DPD می‌باشند.

شعاع قطره‌ها	موقعیت (x)	سرعت بحرانی (۱۰⁻۳)
۵	۲۰/۴۲±۰/۰۱	۴/۲۱±۰/۰۲
۶	۷/۳۲±۰/۰۱	۴/۲۷±۰/۰۲
۷	۰/۱۱±۰/۰۱	۴/۳۵±۰/۰۲
۸	-۹/۷۱±۰/۰۱	۴/۴۶±۰/۰۴
۹	-۱۷/۱۰±۰/۰۱	۴/۷۰±۰/۰۶
۱۰	-۲۴/۵۷±۰/۰۱	۴/۹۶±۰/۰۶

به طور دقیق مکان را پیش از لحظه رهایش مشخص کرد. به جای این روش می‌توان با استفاده از بررسی مسیر میکروژره و تقریب مناسب سرعت بحرانی را تخمین زد. بدین منظور از تقریب مرتبه دوم و درون‌یابی مرتبه دوم سرعت بحرانی پیش از رهایش بهدست آمد. پنج مرحله تکرار برای قطره‌ها با سایزهای گوناگون انجام گرفت که نتیجه‌ها در جدول ۳ آورده شده‌اند. در پایان مشاهده گردید که با دو برابر کردن شاعع که به معنای هشت برابر شدن حجم است، سرعت بحرانی ۱۸ درصد افزایش می‌یابد. بنابراین، این مقدار اختلاف در سرعت بحرانی که به دلیل افزایش سطح مشترک مایع بخار ایجاد شده، در برابر تغییر حجم بسیار ناچیز است. این موضوع بیانگر این واقعیت هست که سرعت بحرانی برای رهایش بهوسیله نیروی چسبندگی که ارتباط چندانی با ریخت‌شناسی قطره ندارد محدود می‌شود.

## نتیجه‌گیری

در این مطالعه عددی، فیزیک انتقال و رهایش یک میکروژره آبگریز توسط یک قطره با روش شبیه‌سازی MDPD مورد بررسی قرار گرفت. به محض این که میکروژره به قطره چسبید، به دلیل وجود نیروهای جاذبه طبیعی بین میکروژره و سیال که آن هم به دلیل مقاومت سوبسترا حفظ می‌شود، قطره شروع به حرکت کرده و این حرکت آرام آرام شتاب می‌گیرد. قطره میکروژره را احاطه می‌کند تا از آن عبور کند. سپس سرعت قطره به طرز چشم‌گیری کاهش پیدا می‌کند تا بتواند میکروژره را حمل کند. افزایش سرعت میکروژره و کاهش سرعت قطره باعث می‌شود تا در یک زمان خاص این دو سرعت با هم برابر شوند. سپس قطره میکروژره را جابه جا می‌کند. ساختار جریان داخل قطره در هنگام فرایند انتقال و جابه‌جایی به طرز چشم‌گیری با زمانی که میکروژره‌ای در داخل قطره وجود ندارد، متفاوت است. در این حالت، دیگر حرکات انتقالی و چرخشی داخل قطره رخ نمی‌دهد. در عوض

$r_d$	ترم نیروی جاذبه مستقل از دانسیته	$\theta_e$	زاویه تماس تعادلی بین میکروقطره و سوبسترا
$\varphi$	دامنه نیروی اتلافی	$B_{ij}$	ترم مربوط نیروی جاذبه
$\gamma$	دامنه نیروی رندوم	$A_{ij}$	ترم مربوط به نیروی دافعه
$\theta_{ij}$	عدد گوسی با واریانس واحد و میانگین صفر	$k_B$	ثابت بولتزمن
$d$	فاصله ابتدایی بین مرکز قطره و میکروذرهای	$x_0$	نقطه شروع انتهای آبگریز
$x_f$	نقطه پایانی انتهای آبدوست	$\theta_0$	زاویه تماس در نقطه شروع انتهای آبگریز
$\theta_f$	زاویه تماس در نقطه پایانی انتهای آبدوست	$\epsilon$	طول لغزش
$\mu$	ویسکوزیته قطره	$\sigma$	تنش سطحی
$R$	شعاع قطره	$\vec{F}_{ij}^R$	مولفه بقایی نیرو
$\vec{F}_{ij}^D$	مولفه اتلافی نیرو	$\vec{F}_{ij}^C$	مولفه تصادفی نیرو
تاریخ دریافت: ۱۴۰۰/۰۲/۱۶؛ تاریخ پذیرش: ۱۴۰۰/۰۵/۰۱		$\omega_c$	تابع وزنی نیروی جاذبه
		$\omega_d$	تابع وزنی نیروی دافعه

## مراجع

- [1] Squires T.M., Quake S.R., [Microfluidics: Fluid Physics at the Nanoliter Scale](#), *Reviews of modern physics*, **77(3)**: 977 (2005).
- [2] Whitesides G.M., [The Origins and the Future of Microfluidics](#), *Nature*, **442(7101)**: 368-373 (2006).
- [3] آزادی تارم، بزرگر ف، غضنفری م.ح، آنالیز پروفایل قطره نامتقارن روی سطوح افقی، شیبدار و دارای انحنای با استفاده از پردازش تصویر، نشریه علمی علوم و فناوری رنگ، **(۱۳۹۸) ۹: ۲۳ تا ۱۳**.
- [4] Sackmann E.K., Fulton A.L., Beebe D.J., [The Present and Future Role of Microfluidics in Biomedical Research](#), *Nature*, **507(7491)**: 181-189 (2014).
- [5] Elvira K.S., i Solvas X.C., Wootton R.C., [The Past, Present and Potential for Microfluidic Reactor Technology in Chemical Synthesis](#), *Nature chemistry*, **5(11)**: 905-915 (2013).
- [6] Neuži P., Giselbrecht S., Länge K., Huang T.J., Manz A., [Revisiting Lab-on-a-Chip Technology for Drug Discovery](#), *Nature reviews Drug discovery*, **11(8)**: 620-632 (2012).
- [7] Kruis F.E., Fissan H., Peled A., [Synthesis of Nanoparticles in the Gas Phase for Electronic, Optical and Magnetic Applications—a Review](#), *Journal of Aerosol Science*, **29(5)**: 511-535 (1998).
- [8] Kawaguchi H., [Functional Polymer Microspheres](#), *Progress in Polymer Science*, **25(8)**: 1171-1210 (2000).
- [9] Sista R.S., Eckhardt A.E., Srinivasan V., Pollack M.G., Palanki S., Pamula V.K., [Heterogeneous Immunoassays using Magnetic Beads on a Digital Microfluidic Platform](#), *Lab on a Chip*, **8(12)**: 2188-2196 (2008).
- [10] Shah G.J., Veale J.L., Korin Y., Reed E.F., Gritsch H.A., [Specific Binding and Magnetic Concentration of CD8+ T-Lymphocytes on Electrowetting-on-Dielectric Platform](#), *Biomicrofluidics*, **4(4)**: 044106 (2010).

- [11] Ng A.H., Choi K., Luoma R.P., Robinson J.M., Wheeler A.R., **Digital Microfluidic Magnetic Separation for Particle-Based Immunoassays**, *Analytical chemistry*, **84(20)**: 8805-8812 (2012).
- [12] Witters D., Knez K., Ceyssens F., Puers R., Lammertyn J., **Digital Microfluidics-Enabled Single-Molecule Detection by Printing and Sealing Single Magnetic Beads in Femtoliter Droplets**, *Lab on a Chip*, **13(11)**: 2047-2054 (2013).
- [13] Vergauwe N., Vermeir S., Wacker J.B., Ceyssens F., Cornaglia M., Puers R., Gijs M.A., Lammertyn J., Witters D., **A Highly Efficient Extraction Protocol for Magnetic Particles on a Digital Microfluidic Chip**, *Sensors and Actuators B: Chemical*, **196**: 282-291 (2014).
- [14] Gijs M.A., **Magnetic Bead Handling on-Chip: New Opportunities for Analytical Applications**, *Microfluidics and Nanofluidics*, **1(1)**: 22-40 (2004).
- [15] Gijs M.A., Lacharme F., Lehmann U., **Microfluidic Applications of Magnetic Particles for Biological Analysis and Catalysis**, *Chemical reviews*, **110(3)**: 1518-1563 (2009).
- [16] van Reenen A., de Jong A.M., den Toonder J.M., Prins M.W., **Integrated Lab-on-Chip Biosensing Systems based on Magnetic Particle Actuation—a Comprehensive Review**, *Lab on a Chip*, **14(12)**: 1966-1986 (2014).
- [17] Zhao Y., Cho S.K., **Microparticle Sampling by Electrowetting-Actuated Droplet Sweeping**, *Lab on a Chip*, **6(1)**: 137-144 (2006).
- [18] Tan M.K., Friend J.R., Yeo L.Y., **Microparticle Collection and Concentration Via a Miniature Surface Acoustic Wave Device**, *Lab on a Chip*, **7(5)**: 618-625 (2007).
- [19] Jönsson-Niedziółka M., Lapierre F., Coffinier Y., Parry S., Zoueshtiagh F., Foat T., Thomy V., Boukherroub R., **EWOD Driven Cleaning of Bioparticles on Hydrophobic and Superhydrophobic Surfaces**, *Lab on a Chip*, **11(3)**: 490-496 (2011).
- [20] Cho S.K., Zhao Y., **Concentration and Binary Separation of Micro Particles for Droplet-Based Digital Microfluidics**, *Lab on a Chip*, **7(4)**: 490-498 (2007).
- [21] Kinoshita H., Kaneda, S.; Fujii, T.; Oshima, M., **Three-Dimensional Measurement and Visualization of Internal Flow of a Moving Droplet Using Confocal Micro-PIV**. *Lab on a Chip*, **7(3)**: 338-346 (2007).
- [22] Lu, H.-W., Bottausci F., Fowler J.D., Bertozzi A.L., Meinhart C., **A Study of EWOD-Driven Droplets by PIV Investigation**, *Lab on a Chip*, **8(3)**: 456-461 (2008).
- [23] Ma S., Sherwood J.M., Huck W.T., Balabani S., **On the Flow Topology Inside Droplets Moving in Rectangular Microchannels**, *Lab on a Chip*, **14(18)**: 3611-3620 (2014).
- [24] Author A., **Simulation Tools for Lab on a Chip Research: Advantages, Challenges, and Thoughts for the Future**, *Lab on a Chip*, **8(9)**: 1424-1431 (2008).
- [25] Warren P., **Vapor-Liquid Coexistence in Many-Body Dissipative Particle Dynamics**, *Physical Review E*, **68(6)**: 066702 (2003).
- [26] Liu M., Meakin P., Huang, H., **Dissipative Particle Dynamics with Attractive and Repulsive Particle-Particle Interactions**, *Physics of Fluids*, **18(1)**: 017101 (2006).

- [27] Tiwari A., Abraham J., Dissipative-Particle-Dynamics Model for Two-Phase Flows, *Physical Review E*, **74(5)**: 056701 (2006).
- [28] Cupelli C., Henrich B., Glatzel T., Zengerle R., Moseler M., Santer M., Dynamic Capillary Wetting Studied with Dissipative Particle Dynamics, *New Journal of Physics*, **10(4)**: 043009 (2008).
- [29] Li Z., Hu G.-H., Wang Z.-L., Ma Y.-B., Zhou Z.-W., Three Dimensional Flow Structures in a Moving Droplet on Substrate: A Dissipative Particle Dynamics Study, *Physics of Fluids*, **25(7)**: 072103 (2013).
- [30] Wang Y., Chen S., Numerical Study on Droplet Sliding Across Micropillars, *Langmuir*, **31(16)**: 4673-4677 (2015).
- [31] Pal S., Lan C., Li Z., Hirleman E.D., Ma Y., Symmetry Boundary Condition in Dissipative Particle Dynamics, *Journal of Computational Physics*, **292**: 287-299 (2015).
- [32] Ahmadlouydarab M., Lan C., Das A.K., Ma Y., Coalescence of Sessile Microdroplets Subject to a Wettability Gradient on a Solid Surface, *Physical Review E*, **94(3)**: 033112 (2016).
- [33] Lan C., Pal S., Li Z., Ma Y., Numerical Simulations of the Digital Microfluidic Manipulation of Single Microparticles, *Langmuir*, **31(35)**: 9636-9645 (2015).
- [34] Clark A.T., Lal M., Ruddock J.N., Warren P.B., Mesoscopic Simulation of Drops in Gravitational and Shear Fields, *Langmuir*, **16**: 6342 (2000).
- [35] Jones J.L., Lal M., Ruddock J.N., Spensley N., Dynamics of a Drop at a Liquid/Solid Interface in Simple Shear Fields: A Mesoscopic Simulation Study, *Faraday Discuss*, **112**: 129 (1999).
- [36] Louis A.A., Bolhuis P.G., Hansen J.P., Mean-Field Fluid Behavior of the Gaussian Core Model, *Physical Review E*, **62**: 7961 (2000).
- [37] Rao Q., Xia Y., Li J., McConnell J., Sutherland J., Li Z., A Modified Many-Body Dissipative Particle Dynamics Model for Mesoscopic Fluid Simulation: Methodology, Calibration, and Application for Hydrocarbon and Water, *Molecular Simulation*, **47**: 363-375 (2021).
- [38] Hemed A.A., Pal S., Mishra A., Torabi M., Ahmadlouydarab M., Li Z., Palko J., Ma Y., Effect of Wetting and Dewetting Dynamics on Atomic Force Microscopy Measurements, *Langmuir*, **35**: 13301-13310 (2019).
- [39] Ahmadlouydarab M., Hemed A.A., Ma Y., Six Stages of Microdroplet Detachment from Microscale Fibers, *Langmuir*, **34**: 198-204 (2018).
- [40] Pagonabarraga I., Frenkel D., Dissipative Particle Dynamics for Interacting Systems, *J. Chem. Phys.*, **115**: 5015 (2001).
- [41] Nugent S., Posch H.A., Liquid Drops and Surface Tension with Smoothed Particle Applied Mechanics, *Phys. Rev. E*, **62**: 4968 (2000).
- [42] Warren P.B., Vapor-Liquid Coexistence in Many-Body Dissipative Particle Dynamics, *Phys. Rev. E*, **68**: 066702 (2003).
- [43] Trofimov Y., Nies E.L.F., Michels M.A.J., Constant-Pressure Simulations with Dissipative Particle Dynamics, *J. Chem. Phys.*, **123**: 144102 (2005).

- [44] Groot R.D., Warren P.B., [Dissipative Particle Dynamics: Bridging the Gap between Atomistic and Mesoscopic Simulation](#), *Journal of Chemical Physics*, **107(11)**: 4423-4435 (1997).
- [45] Espanol P., Warren P., [Statistical Mechanics of Dissipative Particle Dynamics](#), *EPL (Europhysics Letters)*, **30(4)**: 191-196 (1995).
- [46] Fan H., Striolo A., [Nanoparticle Effects on the Water-Oil Interfacial Tension](#), *Physical Review E*, **6(5)**: 051610 (2012).
- [47] Luu X.-C., Yu J., Striolo A., [Nanoparticles Adsorbed at the Water/Oil Interface: Coverage and Composition Effects on Structure and Diffusion](#), *Langmuir*, **29(24)**: 7221-7228 (2013).
- [48] Hardin R.H., Sloane N.J.A., Smith W.D., *Tables of Spherical Codes with Icosahedral Symmetry, Published Electronically at <http://NeilSloane.com/icosahedral.codes/>*.
- [49] Johnson K., Kendall K., Roberts A., [Surface Energy and the Contact of Elastic Solids](#), *Proceedings of the royal society of London. A. mathematical and physical sciences*, **324(1558)**: 301-313 (1971).
- [50] Kim J.M., Phillips R.J., [Dissipative Particle Dynamics Simulation of Flow around Spheres and Cylinders at Finite Reynolds Numbers](#), *Chemical engineering science*, **59(20)**: 4155-4168 (2004).
- [51] Chen S., Phan-Thien N., Khoo B.C., Fan X.J., [Flow around Spheres by Dissipative Particle Dynamics](#), *Physics of Fluids*, **18(10)**: 103605 (2006).
- [52] Yao X., Bai H., Ju J., Zhou D., Li J., Zhang H., Yang B., Jiang L., [Running Droplet of Interfacial Chemical Reaction Flow](#), *Soft Matter*, **8(22)**: 5988-5991 (2012).
- [53] Bliznyuk O., Seddon J.R., Veligura V., Kooij E.S., Zandvliet H.J., Poelsema B., [Directional Liquid Spreading Over Chemically Defined Radial Wettability Gradients](#), *ACS applied materials & interfaces*, **4(8)**: 4141-4148 (2012).
- [54] Xu X., Qian T., [Droplet Motion in One-Component Fluids on Solid Substrates with Wettability Gradients](#), *Physical Review E*, **85(5)**: 051601 (2012).
- [55] Moumen N., Subramanian R.S., McLaughlin J.B., [Experiments on the Motion of Drops on a Horizontal Solid Surface Due to a Wettability Gradient](#). *Langmuir*, **22(6)**: 2682-2690 (2006).
- [56] Visser D., Hoefsloot H., Iedema P., [Comprehensive Boundary Method for Solid Walls in Dissipative Particle Dynamics](#), *Journal of Computational Physics*, **205(2)**: 626-639 (2005).
- [57] Subramanian R.S., Moumen N., McLaughlin J.B., [Motion of a Drop on a Solid Surface Due to a Wettability Gradient](#), *Langmuir*, **21(25)**: 11844-11849 (2005).
- [58] Ahmadlouydarab M., Feng J.J., [Motion and Coalescence of Sessile Drops Driven by Substrate Wetting Gradient and External Flow](#), *Journal of Fluid Mechanics*, **746**: 214-235 (2014).